



سنجش از دور

و

GIS ایران



سنجش از دور و GIS ایران
Vol.5, No.1, Spring 2013

۷۱-۸۴

شبیه‌سازی سیلاب رودخانه کشکان

محمد مهدی حسینزاده^۱، سعیده متین بیرانوند^{۲*}، امین حسینی اصل^۳، حسن صدوق^۴

۱. استادیار گروه جغرافیا، دانشکده علوم زمین، دانشگاه شهید بهشتی
۲. دانشجوی کارشناسی ارشد جغرافیای طبیعی، دانشکده علوم زمین، دانشگاه شهید بهشتی
۳. مری مرك سنجش از دور و GIS، دانشگاه شهید بهشتی
۴. دانشیار گروه جغرافیا، دانشکده علوم زمین، دانشگاه شهید بهشتی

تاریخ پذیرش مقاله: ۱۳۹۲/۳/۲۰

تاریخ دریافت مقاله: ۱۳۹۱/۹/۲۰

چکیده

شهرستان پلدختر که بستر رودخانه کشکان در آن جای گرفته است، هر ساله از سیلاب‌های متعددی خسارت می‌بیند. بزرگ‌ترین سیل سال‌های اخیر استان لرستان در سال ۱۳۸۴ در این شهرستان رخ داد که حدود ۸۰ میلیارد تومان خسارت را در پی داشت. از این رو بررسی نواحی مستعد وقوع سیلاب و تهیه نقشه پهنه‌بندی سیلاب در این منطقه ضرورت ویژه‌ای دارد. در این تحقیق پهنه سیل‌گیر منطقه در دوره بازگشت‌های مختلف در بازارهای به طول ۲۵ کیلومتر از بستر رودخانه کشکان حدفاصل ایستگاه هیدرومتری پل‌دختر تا پل گاویمیشان تعیین شد؛ بدین ترتیب که براساس مدل رقومی مستخرج از نقشه‌های توپوگرافی ۱/۲۵۰۰۰ داده‌های ۰-۱۰۰ متری رودخانه استخراج گشت. سپس ضریب مانینگ در مقاطع مختلف و هیدروگراف سیل در دوره بازگشت‌های ۵، ۱۰، ۲۵، ۵۰ و ۲۰۰ ساله محاسبه شد و نقشه‌های پهنه‌بندی در دوره بازگشت‌های مختلف تهیه گردید. نتایج تحقیق نشان داد روند افزایش سطح سیل‌گیر در دوره بازگشت‌های ۵ تا ۱۰۰ ساله سیر صعودی‌تری دارند، در حالی که مساحت‌های پهنه سیلاب در دوره بازگشت ۱۰۰ ساله و ۲۰۰ ساله اختلاف چندانی را نشان نمی‌دهد. مقایسه پهنه‌های سیلاب در دوره بازگشت‌های مختلف حاکی از آن است که از کل مساحت تحت پوشش سیل ۲۰۰ ساله حدود ۹۴ درصد آن مستعد سیل گیری بهوسیله سیل‌هایی با دوره بازگشت ۲۵ ساله است. افزایش حداکثر عمق سیلاب در دوره بازگشت‌های مختلف نسبت به افزایش عمق متوسط سیلاب، روند ملایم‌تری را طی کرده است.

کلیدواژه‌ها: شبیه‌سازی سیلاب، رودخانه کشکان، سیستم‌های اطلاعات جغرافیایی.

* نویسنده مکاتبه‌کننده: تهران، دانشگاه شهید بهشتی، دانشکده علوم زمین، تلفن: ۰۹۳۷۷۵۶۵۶۳۷

Email: S64_hiranvand@gmail.com

۱- مقدمه

ستی و دستی نمی‌توانند پاسخگوی این نیاز باشند، زیرا روش‌های سنتی بهینه‌یابی مکان بر پایه استفاده از شیوه‌های نسبتاً پرهزینه و زمان‌بر هستند. به علاوه برخی از این روش‌ها دقیق نیستند و نمی‌توان در آنها همه پارامترهای مؤثر در تعیین مکان بهینه را به راحتی و به طور توان اعمال کرد (ابراهیمی‌پور و همکاران، ۱۳۸۵). امروزه برای پیش‌بینی ارتفاع سیلاب در دوره بازگشت‌های مختلف از مدل‌های ریاضی توسعه یافته و تلفیق آن با سامانه اطلاعات جغرافیایی استفاده می‌شود. مزیت اصلی استفاده از GIS در مدل‌سازی هیدرولیکی، قابلیت آن در استخراج اطلاعات مقاطع عرضی رودخانه از روی مدل رقومی ارتفاع (DEM) است.

توانایی مدل‌های هیدرولیکی در برنامه HEC-RAS در پژوهش‌های متعددی مورد بررسی و تحلیل قرار گرفته است. ابراهیمی‌پور و همکاران (۱۳۸۵) در رودخانه قره‌سو؛ شعبانلو و همکاران (۱۳۸۷) در شبکه رودخانه‌های استان گلستان؛ کرباسی و همکاران (۱۳۸۸) در بخشی از رودخانه کشکان؛ و استfan (۲۰۰۲) در حوضه رودخانه یلستون امریکا به برآورد خسارت‌ها و تعیین نقاط امن با استفاده از این مدل پرداخته‌اند و میزان خسارت‌ها را پیش‌بینی کرده‌اند.

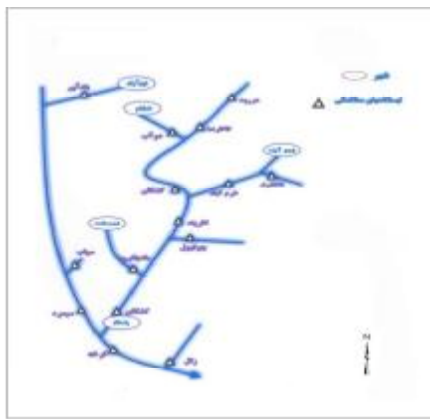
زینیوند (۱۳۷۹)، تایت (۱۹۹۹)، هیل (۲۰۰۱) و تری‌بیر (۲۰۰۲) پس از تطابق نتایج حاصل از پهنه‌بندی سیلاب با استفاده از مدل HEC-RAS با سیلاب‌های گذشته، به قابلیت بسیار بالای این مدل در شبیه‌سازی سیلاب در دوره بازگشت‌های مختلف و همچنین کارایی این مدل در بررسی سازه‌های هیدرولیکی کنترل سیلاب در طول رودخانه تأکید کرده‌اند.

تیموری مقدم و همکاران (۱۳۸۸) در دو مین کنفرانس سراسری آب در مقاله‌ای با عنوان پهنه‌بندی River سیلاب رودخانه باکستر با استفاده از نرم‌افزار Cad XP به شرح چگونگی پهنه‌بندی سیلاب با استفاده از این نرم‌افزار می‌پردازند. این بسته نرم‌افزاری پیشرفت‌ه

سیل از بلایای طبیعی است که بشر از دیرباز با آن دست به گریبان بوده است. در ایران نیز به دلیل وسعت زیاد، اقلیم‌های متعدد و تراکم‌های زمانی و مکانی بارش‌ها در اکثر حوضه‌های آبخیز، همه ساله سیلاب‌های عظیم رخ می‌نمایند که بسیاری از آنها خسارت‌های جانی و مالی فراوانی را به دنبال دارند. رودخانه کشکان نیز از این قاعده مستثنی نیست. براساس گزارش ایستگاه هیدرومتری کشکان پل دختر، از سال ۱۳۳۴ تا سال ۱۳۹۰ (در دوره‌ای ۵۶ ساله) رودخانه کشکان با ۱۶ سیلاب به حجم بیش از ۱۰۰۰ مترمکعب در ثانیه مواجه بوده است. براساس آمار ایستگاه‌های هیدرومتری استان لرستان، از بین حدود ۳۳ رودخانه دائمی استان، رودخانه کشکان با دبی سیلابی ۳۰۹۰ مترمکعب در ثانیه، دارای حداکثر دبی سیلابی است؛ و شهرستان پل دختر به لحاظ قرارگیری در خروجی آن، سیل خیزترین شهرستان استان به شمار می‌آید. از مهم‌ترین دلایل تشدید این خسارت‌ها، دخل و تصرف غیرمجاز در بستر و حریم رودخانه‌ها و مسیل‌هاست. از جمله راهکارهای کاهش خسارات سیلاب پهنه‌بندی پتانسیل سیل خیزی اراضی با به عبارتی تفکیک نواحی از لحاظ قابلیت سیل خیزی و تعیین سهم عوامل مؤثر در سیل است. امروزه نقشه‌های پهنه‌بندی سیلاب در مطالعات مدیریت سیلاب داشت کاربرد وسیعی دارد. این نقشه‌ها از اطلاعات پایه و مهم در مطالعات طرح‌های عمرانی در دنیا به شمار می‌آیند و قبل از هرگونه سرمایه‌گذاری و یا اجرای طرح‌های توسعه، بررسی آنها در دستور کار سازمان‌های ذی‌ربط قرار می‌گیرد (برخورداری و چاوشیان، ۱۳۷۹).

با توجه به اینکه تمام حوادث طبیعی از جمله سیل وا استگی مکانی دارند و اکثر داده‌های مرتبط با آنها و تأثیرات‌شان مکانی است، بنابراین تهیه نقشه‌های پهنه‌بندی سیل و تعیین نقاط امن در برابر آن مستلزم تلفیق داده‌های مختلف مکانی همچون توپوگرافی، پوشش زمین و مانند اینهاست. در این میان روش‌های

عبور می‌کند. در تقسیم‌بندی هیدرولوژی، ایران جزئی از حوضه آبریز خلیج فارس به شمار می‌رود. سیستم رودخانه اصلی ابتدا از پیوستن سرشاخه‌های رودخانه‌های هرو (کاکارضا) و دو آب الشتر که از دامنه کوه‌های مرتفع و برفگیر گرین و میش‌پرور سرچشمه می‌گیرند تشکیل می‌گردد. در طول مسیر اصلی رودخانه‌های فرعی دیگری مانند چم زکریا، خرم‌آباد، چولهول، مادیان رود به آن می‌پیوندد و سرانجام سیستم واحد کشکان را تشکیل می‌دهد. این رودخانه پس از طی مسافتی در حدود ۳۰۰ کیلومتر، از میان شهر پل دختر عبور می‌کند و به رودخانه سیمراه ملحق می‌گردد (شکل ۱).



شکل ۱. طرح شماتیک رودخانه کشکان

رودخانه مورد بررسی بخشی از حوضه آبخیز کشکان در زیرحوضه کشکان پل دختر است که از محل ایستگاه هیدرومتری کشکان - پل دختر در محل پل تاریخی دختر شروع می‌شد و با عبور از شهر پل دختر تا محل پل گاوامیشان در مز استان‌های لرستان و ایلام ادامه می‌پابد. طول مسیر رودخانه در بازه مورد مطالعه ۲۵ کیلومتر است. موقعیت سیاسی منطقه و موقعیت بازه در شکل ۲ آمده است.

در این پژوهش از طریق تلفیق مدل هیدرولیک رودخانه HEC-RAS و سامانه اطلاعات جغرافیایی GIS از طریق الحاقیه HEC-GEORAS پهنه سیلاب

مدل‌سازی سیستم‌های رودخانه‌ای قادر به پشتیبانی از مدل‌های عددی آنالیز جریان شامل HEC-RAS و HEC2 در محیط AutoCAD است و به سادگی محاسبات پروفیل سطح آب را انجام می‌دهد و توان نمایش خط مرز سیلاب و پهنه‌بندی سیلاب را دارد. غفاری و امینی (۱۳۸۹) مدیریت دشت‌های سیلابی با استفاده از سیستم اطلاعات جغرافیایی (GIS) را در HEC-RAS رودخانه قزل‌اوزن با بهره‌گیری از مدل بررسی کردند و نشان دادند که در این رودخانه روند افزایش خسارت‌ها و سطح سیل‌گیر در دوره‌های بازگشت ۲ تا ۲۵ ساله نسبت به دوره‌های ۲۵ تا ۲۰۰ ساله دارای سیر صعودی سریع‌تری است.

افتخاری و همکاران (۱۳۹۰) به ارزیابی پهنه‌بندی سیلاب با تغییرات ضرب زبری در رودخانه اترک با استفاده از مدل HEC-RAS پرداخته‌اند. در این تحقیق، آنان به منظور بررسی میزان تأثیر ضرب زبری مانینگ در گستره پهنه سیلابی، ضرب زبری به دست‌آمده از مشاهدات میدانی را کالیبره کردند، افزایش و کاهش دادند، و سپس با هر یک از حالات مدل را اجرا کردند. زرگر و معصومی‌نژاد (۱۳۹۰) کاربرد سامانه‌های اطلاعات جغرافیایی (GIS) را در مطالعات تعیین حد حريم و بستر رودخانه‌ها با مطالعه موردي در حوضه آبخیز رودخانه چناران بجنورد، با استفاده از مدل HEC-RAS بررسی کردند و بیان داشتند که در صورت برقراری ارتباط مناسب بین مدل‌های ریاضی مورد استفاده (HEC-RAS) و سامانه اطلاعات جغرافیایی، امکان اعمال تغییرات مورد نظر و نیز اصلاح و روزآمدسازی نقشه‌های پهنه‌بندی به سادگی و با صرف هزینه و زمان اندک مسیر خواهد بود.

حوضه آبخیز رودخانه کشکان با وسعت ۹۲۷۵/۶۶ کیلومترمربع در ناحیه جنوب‌غربی ایران واقع شده است. این حوضه بخش مهمی از سرشاخه‌های پرآب رودخانه کرخه را تشکیل می‌دهد و حدود یک سوم از خاک استان لرستان را در بر می‌گیرد و از شهرستان‌های الشتر، خرم‌آباد، کوه‌دشت و پل دختر

هندسی و اضافه کردن داده‌های هیدرولیکی جریان وارد HEC-RAS گردید.

۳- خروجی مدل به منظور پسپردازش داده‌ها دوباره وارد محیط GIS شد و پهن‌بندی سیلاب صورت گرفت.

از جمله مشخصات مورد نیاز به منظور ارزیابی خصوصیات هیدرولیک جریان رودخانه، تعیین مقاطع عرضی در طول مسیر رودخانه است. این فایل در بردارنده خصوصیات جغرافیایی مورد نیاز به منظور انجام محاسبات در مدل HEC-RAS است.

اطلاعات جغرافیایی مقاطع از مدل رقومی زمین استخراج می‌گردد که در قالب شبکه نامنظم مثلثی (TIN) است. به منظور تهیه TIN منطقه مورد مطالعه از نقشه توپوگرافی ۱/۲۵۰۰۰ استفاده شده است.

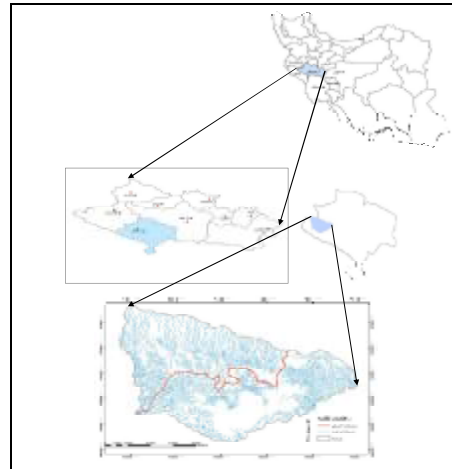
استخراج اطلاعات ژئومتری: این اطلاعات مشتمل‌اند بر لایه‌های خط مرکزی جریان، سواحل رودخانه، بعد مسیر جریان و مقاطع عرضی، با استفاده از مدل رقومی ارتفاع (TIN).

لایه خط مرکزی جریان، ناحیه به ناحیه از بالا دست به پایین دست ساخته می‌شود و هر لایه در بردارنده نام رودخانه و نام بازه مرتبط است. از این لایه به منظور تعیین محدوده قرارگیری مقاطع، نمایش موقعیت رودخانه در مدل HEC-RAS و تعریف جهت جریان در رودخانه استفاده می‌شود (مرود، ۲۰۱۰).

لایه سواحل رودخانه برای جداسازی مجرای اصلی رودخانه از سواحل آن ترسیم می‌شود. برای تعیین دو طرف ساحل از دست چپ و راست استفاده می‌شود، به صورتی که با ایستادن که رو به سمت جهت جریان، جهت دید باید به سمت پایین دست باشد.

لایه ابعاد مسیر جریان به منظور تعیین ابعاد مسیر هیدرولیکی جریان در مجرای اصلی جریان و ساحل چپ و راست آن در ناحیه سیلاب گیر استفاده می‌شود. در صورت تهیه لایه مسیر جریان در مراحل قبل می‌توان کپی خط مرکزی جریان را برای تعریف مسیر در مجرای اصلی جریان به کار گرفت.

رودخانه کشکان حدفاصل ایستگاه هیدرومتری کشکان - پل دختر تا پل گاویشن در دوره بازگشت‌های مختلف تعیین شد.



شکل ۲. موقعیت سیاسی منطقه مورد مطالعه

۲- مواد و روش‌ها

داده‌های مورد استفاده در این پژوهش را می‌توان به دو دسته ابزار فیزیکی و مفهومی تقسیم کرد. داده‌های فیزیکی مشتمل است بر نقشه توپوگرافی ۱/۲۵۰۰۰ تهیه شده از سازمان نقشه‌برداری کشور که برای مشخص کردن محدوده مورد مطالعه و همچنین تهیه مدل ارتفاعی منطقه (TIN) به کار رفت و داده‌های دیگر لحظه‌ای ایستگاه هیدرومتری کشکان - پل دختر از سال ۱۳۴۷ تا ۱۳۸۶. ابزار مفهومی نیز شامل نرم‌افزارهای ARCGIS و HEC-RAS برای پهن‌بندی سیلاب و SMADA برای محاسبه دبی لحظه‌ای در دوره بازگشت‌های مختلف است.

مراحل کار در این پژوهش را می‌توان در سه مرحله، چنین خلاصه کرد:

- ۱- پیش‌پردازش داده‌ها با استفاده از TIN منطقه مورد مطالعه و معرفی خط مرکزی جریان، محدوده سواحل رودخانه و مقاطع عرضی در محیط ARCGIS انجام شد.

- ۲- اطلاعات ژئومتری حاصل برای تکمیل داده‌های

رفته‌اند و ضریب مانینگ را بین 0.021 تا 0.04 تخمین زده شده است. شبیه‌سازی جریان در HEC RAS عملیاتی که لازم است در نرم‌افزار HEC-RAS انجام پذیرد، شامل این مراحل است:

موقعیت، وضعیت و پهنای مقاطع عرضی در لایه‌ای دیگر به نام لایه مقاطع عرضی معرفی می‌شود. در شکل ۳ نمایی از لایه‌های تهیه شده در نرم‌افزار ARCGIS با استفاده از اکستشن HEC-GEORAS می‌توان مشاهده کرد.

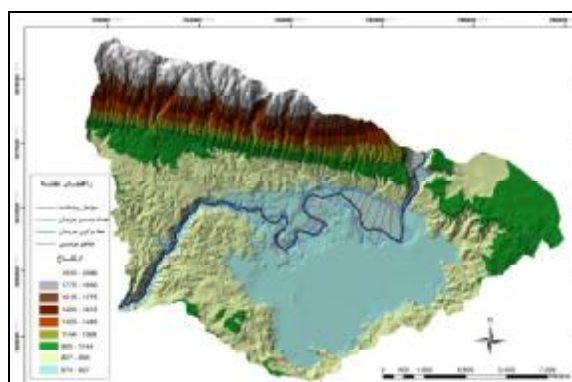
۲-۲- ورود اطلاعات ژئومتری رودخانه حاصل از

محیط GIS و تکمیل آنها

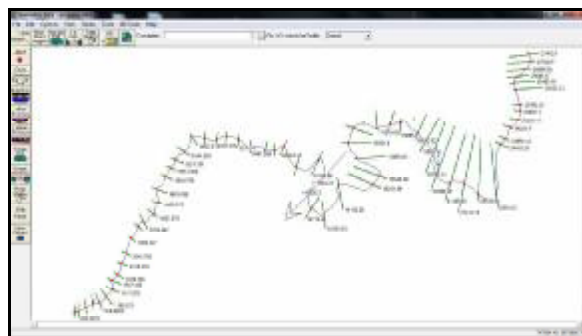
برای بازخوانی اطلاعات مربوط به هندسه رودخانه که در محیط ARCGIS تهیه شده است از منوی Geometric Data استفاده می‌شود. در صورتی که فایل ارسال شده از نظر اطلاعات مشکلی نداشته باشد، طرح شماتیک رودخانه را می‌توان در صفحه اصلی مشاهده کرد. این طرح شماتیک مشتمل است بر خط مرکزی جریان، سواحل چپ و راست و مقاطع عرضی (شکل ۴).

۱-۲- برآورد ضریب مانینگ

گام بعدی تعیین ضریب زبری مقاومت جریان است. روش‌های متعددی برای برآورد ضریب مانینگ ارائه شده است، مانند روش کاون (۱۹۵۶)، روش جررت (۱۹۸۴) و روشی که ریکو و همکاران در سال ۲۰۰۱ ارائه کردند (اسماعیلی و همکاران، ۱۳۹۰). در این پژوهش برای ارزیابی ضریب مانینگ رودخانه، جداولی که در نرم‌افزار HEC-RAS با استفاده از روش چاو ارائه شده و تلفیق آن با عکس‌های اصلی در راهنمای ضریب مانینگ سازمان زمین‌شناسی امریکا (USGS) به کار



شکل ۳. نمایی از لایه‌های خط مرکزی، سواحل، ابعاد مسیر جریان و مقاطع عرضی در ARCGIS



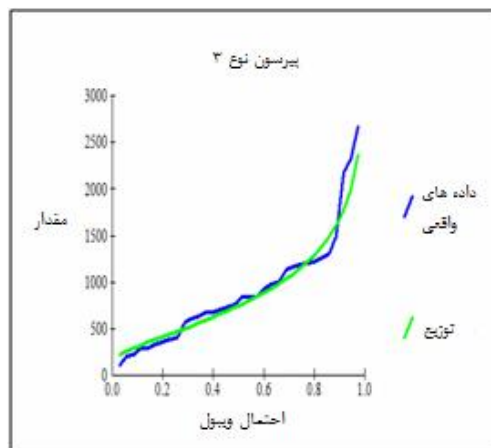
شکل ۴. نمایی از طرح شماتیک رودخانه در نرم‌افزار HEC-RAS

حالت جریان دائمی و رزیم مختلط استفاده می‌شود. در جریالان دائمی، عوامل هیدرولیکی جریان نظری بده و سرعت و عمق ثابت‌اند. در شیب کمتر از $\frac{1}{200}$ استفاده از تحلیل جریان غیردائمی ضروری است. در شیب تندتر از $\frac{1}{2056}$ استفاده از تحلیل جریان دائمی پذیرفتنی است، به شرطی که بده جریان دقیقاً محاسبه شود. برای احضار ویرایشگر داده‌های جریان دائمی از HEC-RAS گزینه data از منوی اصلی Steady flow استفاده می‌شود. در این پنجه تعداد دوره‌های بازگشت مورد نیاز برای محاسبه، داده‌های دبی و شرایط مرزی رودخانه باید وارد شود.

۳-۲-معرفی اطلاعات دبی جریان و شرایط مرزی
 نرم‌افزار HEC-RAS توان شبیه‌سازی جریان در حالت‌های دائمی و فصلی را با رزیمهای زیر بحرانی، فوق بحرانی، و مختلط دارد. در دو انتهای بازه مطالعاتی باید شرایط مرزی تعیین گردد. اگر در بازه مطالعاتی جریان زیر بحرانی باشد، شرایط مرزی در پایین دست تعیین خواهد شد. اگر در بازه مطالعاتی جریان مذکور بحرانی باشد، شرایط مرزی در انتهای بالا دست بازه مطالعاتی تعیین می‌شود. چنانچه جریان از نوع مختلط در بازه مطالعاتی وجود داشته باشد، شرایط مرزی می‌باشد در بالا دست و پایین دست مشخص گردد. در این تحقیق برای محاسبه پروفیل‌های سطح آب از

جدول ۱. دبی دوره بازگشت‌های متغیر توزیع پیرسون

احتمال	دوره بازگشت	ارزش‌های محاسبه شده	انحراف معیار
۰/۹۹۵	۲۰۰	۳۳۲۳/۸۸	۹۶۵/۷۲
۰/۹۹	۱۰۰	۲۹۴۳/۸۲	۷۵۲/۴۸
۰/۹۸	۵۰	۲۵۶۴/۸۰	۵۵۹/۶۶
۰/۹۶	۲۵	۲۱۸۵/۷۶	۳۹۳/۳۰
۰/۹	۱۰	۱۶۸۱/۲۵	۲۳۴/۰۸
۰/۸	۵	۱۲۹۱/۷۹	۱۷۸/۳۶
۰/۶۶	۳	۹۹۵/۰۲	۱۶۰/۴۵
۰/۵۰	۲	۷۴۴/۹۲	۱۳۳/۹۳



شکل ۵. نمودار توزیع پیرسون دبی در ایستگاه کشکان - پل دختر

بحرانی) است. اگر عدد بی بعد فروض کمتر از یک باشد، جریان آرام است؛ اگر بزرگ‌تر از یک باشد، جریان سریع است؛ و در صورتی که مساوی یک باشد، جریان از نوع بحرانی است. در شکل ۶ تغییرات عدد فروض را در طول کanal را به ازای دبی با دوره بازگشت ۲۵ ساله می‌توان دید. همان‌طور که در نمودار می‌توان مشاهده کرد، عدد فروض در اکثر موارد کمتر از یک و بنابراین جریان از نوع آرام (زیربحاری) است.

نرم‌افزار HEC-RAC توان ارائه نمودار سرعت جریان را در طول مسیر رودخانه دارد. در شکل ۷ نمودار سرعت جریان در مسیر رودخانه ملاحظه می‌گردد. سرعت جریان در مقاطع عرضی ۱۲ تا ۳۶ تا کمترین مقدار را نشان می‌دهد.

پروفیل طولی رودخانه به ازای دوره بازگشت‌های مختلف از دیگر نتایج خروجی نرم‌افزار HEC-RAS است که در شکل ۸ این پروفیل به ازای دوره بازگشت‌های ۵، ۲۵، ۵۰ و ۱۰۰ ساله به نمایش درآمده است.

پس از ورود داده‌های حاصل از مدل هیدرولیکی HEC-RAS به نرم‌افزار ARCGIS اقدام به پنهان‌بندی رودسیلاب رودخانه گردید. خروجی‌های به دست آمده شامل دو قسمت است: یکی لایه‌هایی که معرف مرز سیلاب‌دشست در دوره بازگشت‌های مختلف‌اند، و دیگری لایه‌هایی که عمق آبرگفتگی را در دوره بازگشت‌های مختلف نشان می‌دهند. در شکل ۹ پنهان سیلاب رودخانه در دبی با دوره بازگشت ۲۵ ساله نشان داده شده است. در شکل ۱۱ نیز انطباق عمق آبرگفتگی سیلاب در دوره بازگشت ۲۵ ساله با اراضی مسکونی دیده می‌شود.

همان‌گونه که از شکل می‌توان دید، اراضی مسکونی شهر پل‌دختر و روستاهای اطراف در دبی‌های لحظه‌ای با دوره بازگشت ۲۵ ساله در معرض خطر آبرگفتگی قرار دارند.

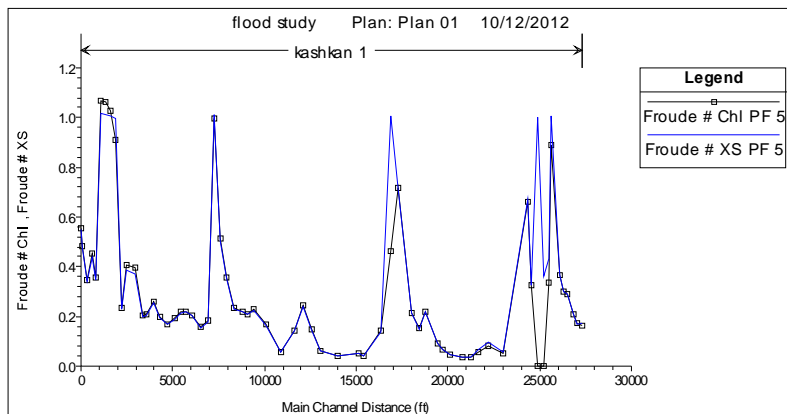
اطلاعات اولیه مورد نیاز که شامل دیهای ماکریم لحظه‌ای در ایستگاه هیدرومتری کشکان - پل دختر از سال آبی ۱۳۴۵ تا ۱۳۸۶ اند از سازمان منابع آب ایران تهیه شدند و دیهای ماساکریم لحظه‌ای برای دوره بازگشت‌های ۵، ۱۰، ۲۵، ۵۰، ۱۰۰ و ۲۰۰ ساله با توزیع پیرسون نوع ۳ (مناسب‌ترین توزیع برای این داده‌ها) استخراج گردید و وارد نرم‌افزار شد (جدول ۱). شکل ۵ برآش داده‌های واقعی و توزیع پیرسون نوع سه را نشان می‌دهد.

پس از وارد کردن داده‌های جریان، گام بعدی وارد کردن داده‌های شرایط مرزی است. در مدل کامپیوترا HEC-RAS شرایط مرزی مشتمل است بر شرایط مرزی بالادست و پایین‌دست که به چهار روش می‌توان تعریف کرد. در این تحقیق از شرایط مرزی عمق نرمال (Normal Depth) استفاده شده است. در این روش، مدل برای محاسبه عمق نرمال جریان از شبیه خط انرژی (که در محاسبه عمق نرمال در معادله مانینگ به کار رفته) استفاده می‌کند. مقدار این شبیه با پذیرفتن خطای ناچیزی که از یکنواخت فرض کردن جریان وارد محاسبه می‌شود، برابر با شبیه طبیعی زمین در نظر گرفته می‌شود. مقدار این شبیه برای رودخانه کشکان برابر با ۰/۰۵ محسوبه گردید و وارد نرم‌افزار شد. بعد از انجام این مراحل مدل هیدرولیکی را می‌توان اجرا کرد. نتایج به دست آمده مجدداً وارد نرم‌افزار ARCGIS می‌شوند و نقشه‌های پنهان‌بندی برای انطباق با کاربری‌های مختلف تهیه می‌گردد.

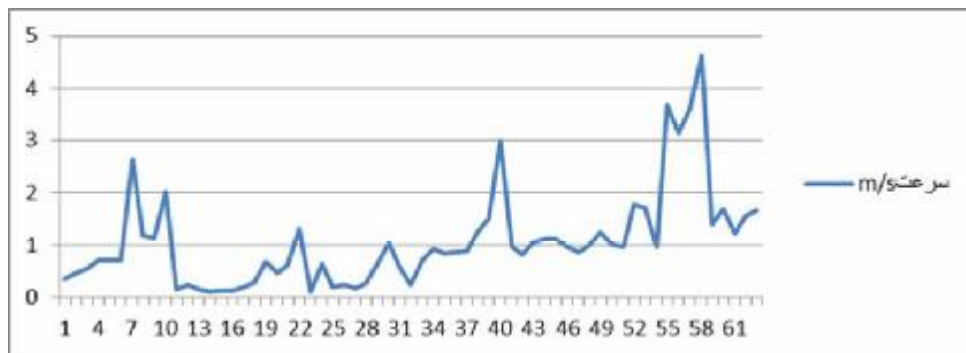
۳- نتایج

از آنجا که برای تعیین حریم بستر رودخانه دبی ۲۵ ساله به عنوان دبی مینا از طرف وزارت نیرو تعیین شده است، در این تحقیق برای ارائه نتایج از دبی با دوره بازگشت ۲۵ ساله استفاده می‌شود.

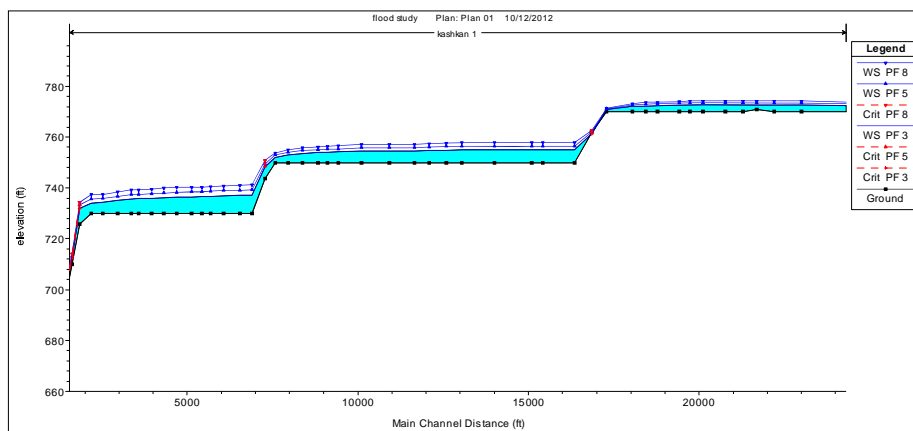
از نتایجی که در خروجی‌های HEC-RAS می‌توان مشاهده کرد، تغییرات عدد فروض در طول مسیر جریان است. این عدد نشان‌دهنده نوع جریان (آرام، سریع،



شکل ۶. تغییرات عدد فرود در طول جریان به ازای دبی با دوره بازگشت ۲۵ سال

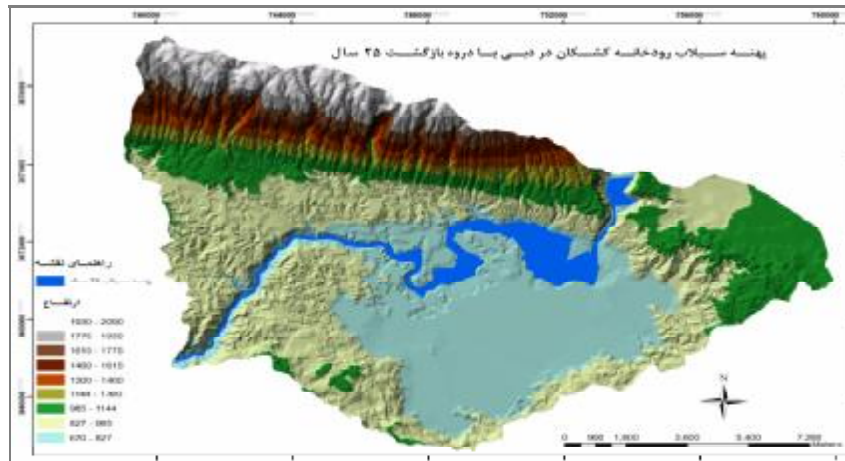


شکل ۷. تغییرات سرعت جریان در مقطع عرضی رودخانه کشکان در سیلاب با دوره بازگشت ۲۵ ساله

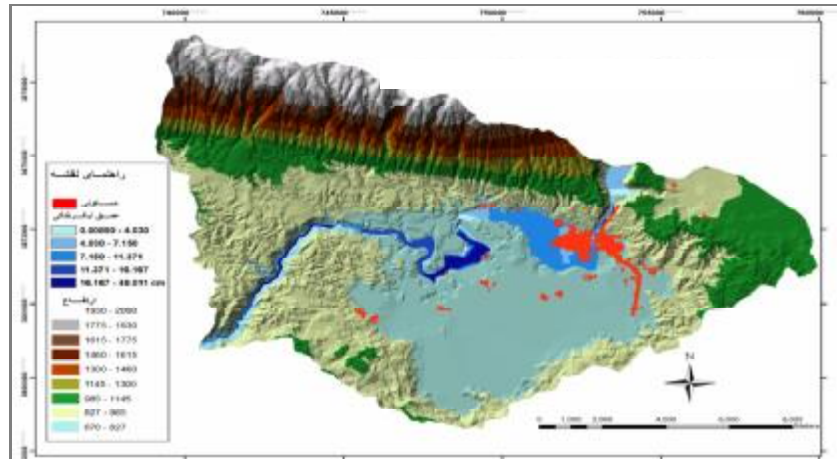


شکل ۸. پروفیل طولی رودخانه کشکان به ازای دبی لحظه‌ای با دوره بازگشت ۲۵، ۵۰ و ۱۰۰ ساله

شبیه‌سازی سیلاب رودخانه کشکان



شکل ۹. پهننه سیلاب رودخانه کشکان به ازای دبی با دوره بازگشت ۲۵ ساله



شکل ۱۰. تغییرات عمق آبرگفتگی سیلاب رودخانه کشکان به ازای دبی با دوره بازگشت ۲۵ ساله

۲۱) تا ۳۵ در قسمتی از رودخانه که از دشت سیلابی عبور می‌کند، قرار گرفته‌اند. بازه‌هایی که در آنها مساحت پهننه سیلاب کمتر بوده یا منطبق بر قسمت‌هایی از رودخانه است که از شهر عبور کرده و با دیواره بتی محدود گردیده است (مقاطع یک تا ۱۲) و یا در قسمتی قرار گرفته‌اند که رودخانه در بستره دره‌ای جریان دارد (باشه ۳۶ تا ۶۶)، سرعت جریان در مقاطع مذکور بیشتر از سایر مقاطع رودخانه است. با مقایسه مساحت پهننه‌های سیل در قسمت‌های مختلف رودخانه، ملاحظه می‌گردد در مکان‌هایی که رودخانه

۱-۴ مقایسه مساحت و عمق پهننه سیل در دوره

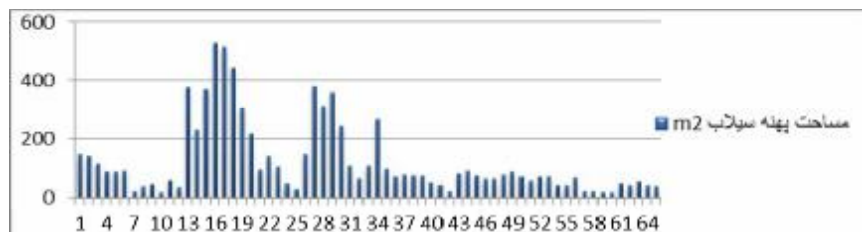
۴- بحث و نتیجه‌گیری

بازگشت‌های مختلف در شکل ۱۱ مساحت پهننه سیلاب رودخانه در هر یک از مقاطع عرضی رودخانه به ازای دبی با دوره بازگشت ۲۵ ساله نشان داده شده است. مقایسه این نمودار با نمودار سرعت جریان در مقاطع عرضی مختلف که در شکل ۷ نشان داده شده، حاکی از آن است که در مقاطع عرضی - که سرعت رودخانه کمتر بوده - مساحت پهننه سیل گیر بیشتر بوده است. این مقاطع

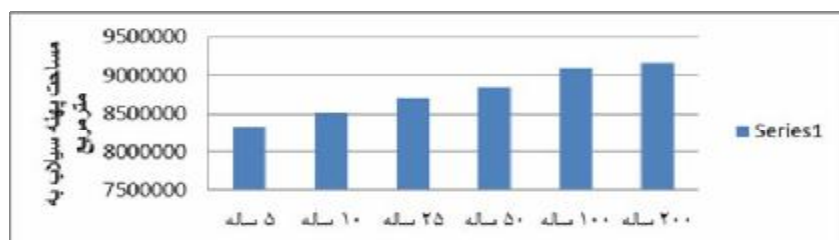
بازگشتهای ۵ تا ۱۰۰ ساله سیر صعودی‌تر دارد؛ در حالی که مساحت‌های پهنه سیلاب در دوره بازگشت ۱۰۰ ساله و ۲۰۰ ساله دارای اختلاف چندانی نیست و پهنه سیلاب در دوره بازگشت ۲۰۰ ساله نسبت به دوره بازگشت ۱۰۰ ساله فقط یک درصد افزایش یافته است. مقایسه پهنه‌های سیلاب در دوره بازگشتهای مختلف نشان می‌دهد که از کل مساحت تحت پوشش سیل ۲۰۰ ساله حدود ۹۴ درصد آن مستعد سیل‌گیری با سیل‌های دارای دوره بازگشت ۲۵ ساله است. همچنین مشاهده می‌شود در بازه‌هایی از رودخانه کشکان که در دشت سیلابی واقع شده‌اند، به علت نامحدود بودن بستر جریان، سیلاب حتی دوره بازگشتهای کوچک نیز پهنه‌های عمده‌ای را در بر می‌گیرد.

در بستری آزاد و با سرعت کمتری جریان داشته است، پهنه سیل حتی در دوره بازگشتهای کمتر از ۲۵ سال مساحت عمده‌ای را اشغال می‌کند. در دره‌های محدود با شبیه زیاد که سرعت جریان نیز بیشتر از سایر بازه‌هاست، مساحت پهنه سیلاب در دوره بازگشتهای مختلف تفاوت چندانی ندارد.

با نمایش سطح سیل‌گیر در هر دوره بازگشت، امکان مقایسه مساحت پهنه سیلاب رودخانه در دوره بازگشتهای مختلف فراهم می‌شود. در شکل ۱۲ نمودار مساحت اراضی مستعد سیلاب در دوره بازگشتهای مختلف ارائه شده است. با توجه به نمودار مساحت پهنه سیلاب و جدول ۲ که در آن درصد مساحت سطح سیل‌گیر درج شده است، می‌توان بیان داشت که روند افزایش سطح سیل‌گیر در دوره



شکل ۱۱. تغییرات مساحت جریان در طول مسیر جریان به ازای دبی با دوره بازگشت ۲۵ ساله



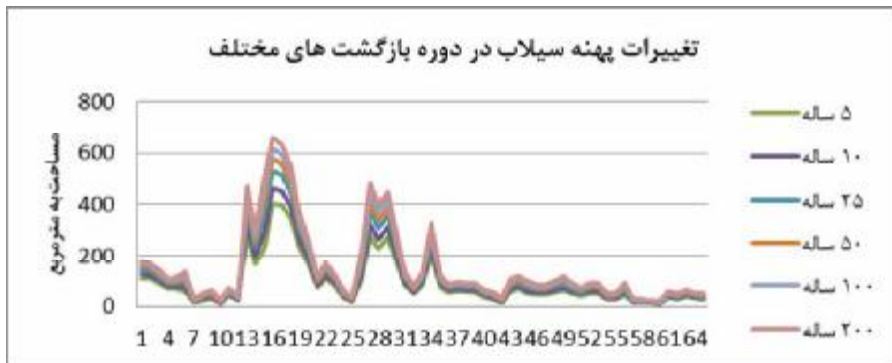
شکل ۱۲. نمودار مساحت سیلاب رودخانه کشکان به ازای دوره بازگشتهای مختلف

جدول ۲. مساحت و درصد کلی مساحت پهنه سیل رودخانه کشکان به ازای دوره بازگشتهای مختلف

۵ ساله	۱۰ ساله	۲۵ ساله	۵۰ ساله	۱۰۰ ساله	۲۰۰ ساله
۸۳۲۷۴۳۰/۱۴ ۹۰/۹۱	۸۵۱۴۶۶/۹۴ ۹۲/۹۶	۸۷۰۷۷۲۲/۳۸ ۹۵/۰۷	۸۸۳۸۲۵۵/۲۶ ۹۶/۴۹	۹۰۸۴۲۶۱/۸۰ ۹۹/۱۸	۹۱۵۹۱۶۵/۴۰ ۱۰۰

به منظور مقایسه عمق سیلاب در دوره بازگشت‌های مختلف، درصد تجمعی متوسط عمق و حداقل عمق سیلاب در جدول ۳ نشان داده شده است. در شکل ۱۴ نمودار مربوط به درصد تجمعی عمق متوسط و حداقل عمق ترسیم گردیده است. همان‌گونه که در نمودار می‌توان دید، در دوره بازگشت‌های کمتر از ۵۰ سال اختلاف بین متوسط عمق و حداقل عمق سیلاب بسیار بیشتر است. به سمت دوره بازگشت‌های ۱۰۰ و ۲۰۰ ساله این اختلاف کاهش یافته است. از کل عمق متوسط سیلاب در دوره بازگشت ۲۰۰ ساله، حدود ۸۴ درصد آن متعلق به دوره بازگشت ۲۵ ساله است ولی از کل حداقل عمق سیلاب در دوره بازگشت ۲۰۰ ساله، حدود ۹۳ درصد مربوط به دوره بازگشت ۲۵ ساله است. ملاحظه می‌گردد که افزایش حداقل عمق سیلاب در دوره بازگشت‌های مختلف نسبت به افزایش عمق متوسط سیلاب با روند ملائم‌تری همراه بوده است.

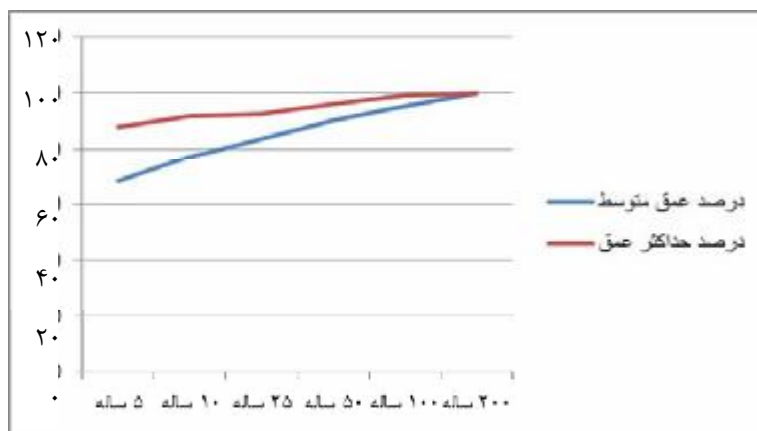
در شکل ۱۳ شماره تغییرات پهنه سیلاب به ازای دوره بازگشت‌های مختلف در تمامی مقاطع عرضی رودخانه مشاهده می‌شود. همان‌گونه که می‌توان دید، در مقاطع عرضی ۱۲ تا ۳۶ که مساحت پهنه سیلاب بیشتر بوده دامنه افزایش مساحت پهنه سیلاب در دوره بازگشت‌های بعدی نیز بیشتر بوده است؛ ولی در قسمت‌هایی که پهنه سیلاب مساحت کمتری را اشغال کرده دامنه افزایش مساحت پهنه سیلاب در دوره بازگشت‌های بعدی نیز کمتر بوده است. تفاوت در گسترهای توپوگرافی مسیر دره است. هر جا پهنه اعرض بستر آبراهه زیاد شده، پهنه ای سطح سیلابی نیز افزایش یافته است؛ و بر عکس، هر جا دره تنگ‌تر شده به همان نسبت پهنه ای سطح سیلابی نیز کاهش یافته است. در حقیقت علت کم بودن تفاوت سطح سیلگیر در بسیاری از بخش‌ها وجود توپوگرافی پرشیب در حاشیه رود اصلی است.



شکل ۱۳. تغییرات پهنه سیلاب رودخانه کشکان به ازای دوره بازگشت‌های مختلف

جدول ۲. درصد تجمعی متوسط و حداقل عمق سیلاب

دوره بازگشت	۵ ساله	۱۰ ساله	۲۵ ساله	۵۰ ساله	۱۰۰ ساله	۲۰۰ ساله
درصد متوسط عمق سیلاب	۶۸/۰۸	۷۶/۹۶	۸۲/۶۵	۹۰/۱۷	۹۵/۲۲	۱۰۰
درصد حداقل عمق سیلاب	۸۷/۷۳	۹۱/۹۴	۹۲/۶۷	۹۵/۹۴	۹۹/۰۰	۱۰۰



شکل ۱۴. نمودار درصد تجمعی متوسط و حداقل عمق سیلاب در دوره بازگشت‌های مختلف

حد به رودخانه، احتمال وقوع رویدادهای خطرناک در این باره از رودخانه کشکان بسیار بالاست. با استفاده از نتایج حاصل از اجرای این مدل می‌توان به راحتی حریم مناسب و دقیقی برای رودخانه تعیین کرد.

۵- منابع

- Barkhordar, M., Chavoshiyan, A., 2000, **Flood Zoning**, Workshop of Rivers Flood Control, Hydraulic Association, January 21, Tehran.
- Ebrahimpoor, A., Yazdani, M., Nasrollahi, A., Monzavi, M., 2006, **Flood Zoning & Determining Safe Sites Against Flooding Using GIS & HEC-RAS Hydraulic Model**, Second International Conference on Natural Disaster Management in Crisis.
- Eftekhari, A., Salajaghe, A., Hossini, S., 2010, **Assessment of Flood Zoning Changes Roughness Coefficient**, Journal of Natural Geography, No. 12, PP.22 - 43.
- Esmaili, R., Hosseinzadeh, M., Motavalli, S., 2011, **Fild Techniques in Fluvial Geomorphology**, Lahut Publication.

مقایسه نتایج پژوهش حاضر با سیلاب‌های قدیمی ناشی از طفیان رودخانه، توانایی مدل هیدرولیکی HEC-RAS را در شبیه‌سازی رفتار هیدرولوژیک رودخانه تأیید می‌کند. مقایسه پهنۀ سیلاب رودخانه کشکان که در تاریخ ۱۵/۱۱/۸۴ با دوره بازگشت بیشتر از ۵۰ سال رخ داده است با نقشه پهنۀ سیلاب در دوره بازگشت ۵۰ ساله حاصل از HEC-RAS بر توانایی مدل تأکید می‌کند. این به علاوه نقشه‌های به دست آمده از سطح و عمق سیل توانایی سامانه اطلاعات جغرافیایی را در ارائه نتایج خروجی از HEC-RAS به صورت بصری، افزایش دقت و سرعت و کاهش هزینه‌های مطالعاتی طرح‌های ساماندهی رودخانه را نشان می‌دهد. از همخوانی نتایج این تحقیق با نتایج هیل (۲۰۰۱)، تری‌بیر (۲۰۰۲)، زینی‌وند (۱۳۷۹) و غفاری و امینی (۱۳۸۹) می‌توان بر مزایای استفاده از GEORAS در افزایش دقت و صرفه‌جویی در هزینه‌های مهندسی رودخانه تأکید کرد. در این پژوهش مشخص گردید در مقاطع عرضی ۳۶ تا ۶۴ که رودخانه در دشت سیلابی با بستر عریض‌تر جریان دارد، مساحت پهنۀ سیلاب بسیار عریض است و حتی در دیهای با دوره بازگشت ۵ ساله امکان زیر آب رفتن اراضی مجاور هر چند با عمق اندک وجود دارد. به علت رعایت نشان قوانین ساخت‌وساز در حریم رودخانه و نزدیکی بیش از

- Ghaffari, G., Amini, A., 2010, **The Management of Floodplains Using Geographic information System (Case study: Qezel Ozan River)**, Journal of geographical space, year 10, No. 32, PP. 117 - 134.
- Hill, M., 2001, **Flood Plain Delineation Using the HEC-GEORAS Extension for Review Brigham Young University CEEN 514**, Winter.
- Hydrology Engineering Center, 2002, HEC-GEORAS, User Manual, Ver3.1.1, Army Crops of Engineers.
- Karbasi, M., Derikvand, E., Shamsai, A., Babaali, H., 2009, **Compilation of River Hydraulic Software (HECRAS) and Geographic Information System (GIS) With Utilize (ARCVIEW) Software to Obtaining Kashkan River Floodplain**, Eighth International Seminar on River Engineering, January 5, Chamran University. Ahwaz.
- Merwade, Venkatesh, 2010, **Tutorial on Using HEC-GEO-RAS With ARCGIS9.3**, School of Civil Engineering, Purdue University.
- Shabanlu, S., Sedghi, H., Saghafiany, B., Mousavi Jahromi, H., 2008, **Zoning of Flood in River Network of Golestan Province Using GIS**, Journal of Iranian Water Research, Year 2, No.3, PP. 11 - 22.
- Stephen, R., 2002, **Hydrologic Investigations by the U.S. Geological Survey Flowing the 1998 and 1997 Floods in Upper Yellowstone River**, Montana American Water Resources Association 19th Annual Montana Section Meeting, section one.
- Tate, E.C., Olivera, F., 1999, **Floodplain Mapping Using HEC-RAS and ARCVIEW**, Center for Research in Water Resources(CRWR).
- Terry Barr, 2002, **Application of Tools for Hydraulic Power Point Presentation**, Gotvand Hydroelectric Power Project Feasibility, Study.
- Timorimoghadam, A., Seyedi, S., Taghipoor, A., 2009, **Baxter River Flood Zoning Using Software Rivercad XP**, Second National Conference on Water, February 20, Islamic Azad University, Behbahan.
- Zargar, M., Masominezhad, A., 2011, **Application of GIS in the Study of Space and the River Bed**, Fourth Iranian Water Resources Management Conference, 13 and 14 May Amirkabir University, Tehran.
- Zeinivand, H., Aghighi, H., Jalalirad, R., 2006, **Flood Zoning Using GIS Tools and Hydraulic Models in the Broudjerd Seilakhor Floodplain, Iran**, Journal of Natural Resources, No.19, PP.1-14.